

$2^{2n-k} \times 2^k$ 토러스의 HCN(n, n)에 대한 임베딩 알고리즘

강민식⁰ 김중석 이형욱⁺ 허영남
순천대학교 컴퓨터학과, ⁺순천대학교 컴퓨터교육과
graysun0@hanmail.net, {rockhee, oklee, hyn}@sunchon.ac.kr

Embedding Algorithm of $2^{2n-k} \times 2^k$ Torus on HCN(n, n)

Min-Sik Kang⁰ Jong-Seok Kim Hyeong-Ok Lee⁺ Yeong-nam Heo
Dept. of computer Science, Sunchon National University
⁺Dept. of computer Education, Sunchon National University

요 약

임베딩은 어떤 연결망이 다른 연결망 구조에 포함 혹은 어떻게 연관되어 있는지를 알아보기 위해 어떤 특정한 연결망에 다른 연결망에 사상하는 것으로, 특정한 연결망에서 사용하던 여러 가지 알고리즘을 다른 연결망에서 효율적으로 이용할 수 있도록 한다. 본 논문에서는 $2^{2n-k} \times 2^k$ 토러스를 HCN(n, n)에 연결망 3에 임베딩 가능함을 보인다.

1. 서 론

다양한 연결망 구조에서 여러 가지 문제들을 풀기 위해 많은 병렬 알고리즘들이 설계되고 있는데 이러한 알고리즘들을 다른 연결망 구조에서 적은 비용으로 실행시킬 수 있는지는 병렬처리에서 중요한 문제가 되고 있다. 이러한 방법 중에서 널리 쓰이는 것에 임베딩이 있다. 그래프의 임베딩은 어떤 그래프 G 가 다른 그래프 H 에 포함 혹은 어떻게 연관되어 있는지를 알아보기 위해 어떤 그래프 G 를 다른 그래프 H 에 사상하는 것이다. G 의 H 에 대한 임베딩의 연장율은 G 의 어떤 두 인접한 노드를 H 에 사상했을 때 사상된 H 의 두 노드사이의 최대 거리를 나타낸다[1,7].

메쉬 구조는 평면 그래프로서 VLSI 회로 설계 같은 분야에서 많이 이용되는 구조로 현재까지 널리 이용되고 있으며 MPP(Goodyear Aerospace), MP- I (MASPAR), Victor(IBM), Paragon(Intel), T3D(Cray) 등에서 상용화되어 있다[2]. 이러한 메쉬의 지름을 개선한 연결망 중 대표적인 연결망이 토러스인데 토러스는 메쉬의 행과 열들을 링형태를 띄게 한 wraparound 에지라고 불리우는 에지를 추가하여 구성한 연결망이다[4].

하이퍼큐브는 노드 및 에지 대칭이고, 임베딩 관점에 있어서 링, 트리, 메쉬 등과 같은 다른 연결망 구조들이 효율적으로 임베딩 될 수 있다는 장점이 있지만, 노드 개수의 증가에 따른 분지수의 증가로 인해 네트워크의 망비용이 증가하는 단점이 있다[5,6]. 이러한 단점을 개선하고자 하이퍼큐브의 장점을 가지면서 망비용을 개선한 상호연결망인 HCN(n, n)[3,8]이 제안되었다.

본 논문에서는 $2^{2n-k} \times 2^k$ 토러스를 HCN(n, n)에 연결망 3에 임베딩 가능함을 보인다. 본 논문의 구성은 다음과 같다. 2장에서는 관련연구에 대하여 논하고 3장에서는 $2^{2n-k} \times 2^k$ 토러스의 HCN(n, n)에 대한 임베딩을 보이며 4장에서 결론을 맺는다.

2. 관련 연구

본 논문에서는 $2^{2n-k} \times 2^k$ 토러스의 각 노드의 주소를 그레이코드를 이용하여 표현하겠다. 2^{2n-k} 는 행을 2^k 는 열을 나타낸다. 각 노드의 주소는 행의 주소 다음에 열의 주소를 연결하여 연속된 $2n$ 개의 비트스트링으로 표현한다.

그레이코드는 연속된 2진수 사이에 오직 한 개의 비트만 변화하도록 하는 코딩 방식의 하나로 자기 보수성과 주기성을 갖는데 $(n+1)$ -비트 그레이코드 $g_n \dots g_1 g_0$ 는 임의의 $(n+1)$ -비트 이진수 $b_n \dots b_1 b_0$ 로부터 다음과 같이 유도될 수 있다.

$$g_i = b_i \oplus b_{i+1}, 0 \leq i \leq n-1, g_n = b_n.$$

또 B_i 를 정수 $k(0 \leq i \leq 2^n - 1)$ 의 2진 표현이라 하고, B_i 를 오른쪽으로 한 비트 쉬프트 시켜 얻어지며 이때 왼쪽에는 0이 삽입되는 2진수라 할 때 i 번째 그레이코드 G_i 는 다음과 같이 정의 될 수 있다.

$$G_i = B_i \oplus B_i^1.$$

위에서 \oplus 는 exclusive-OR 연산을 나타낸다[9].

예를 들어 2비트 그레이코드는 00-01-11-10으로 표현되고, 3비트 그레이코드는 000-001-011-010-110-111-101-100으로 표현된다.

2.1 토러스

낮은 차원의 메쉬는 설계하기 쉽고 알고리즘 관점에서 매우 유용하므로 병렬처리 컴퓨터의 연결망으로 많이 쓰이고 있으며, 높은 차원의 메쉬일수록 지름이 작아지고 여러 가지 병렬 알고리즘을 빨리 수행할 수 있지만, 비용이 많이 드는 단점이 있다. 이러한 메쉬의 지름을 개선한 연결망으로 토러스가 있다.

토러스는 메쉬의 행과 열들을 링형태를 띄게 한 wraparound 에지라고 불리우는 에지를 추가하여 구성한 연결망이다. $k \times n$ 으로 표현되는 토러스는 $k \times n$ 개의 노드와 $2kn$ 개의 에지로 구성되며, 분지수는 4, 지름은

$$\lfloor \frac{k}{2} \rfloor + \lfloor \frac{n}{2} \rfloor \text{이다.}$$

본 논문에서는 $2^{2n-k} \times 2^k$ 토러스의 노드를 $H=(h_1h_2\dots h_nh_{n+1}\dots h_{2n})$ 로 표현하고, 1부터 n 번째까지 비트스트링이 같은 노드들은 하나의 그룹으로 설정하였다. 예를 들면, 4×4 토러스에서는 00, 01, 11, 10의 4개의 그룹으로 나눌 수 있다. 그림 1은 4×4 토러스의 각 노드 주소를 그레이코드로 표현하였다.

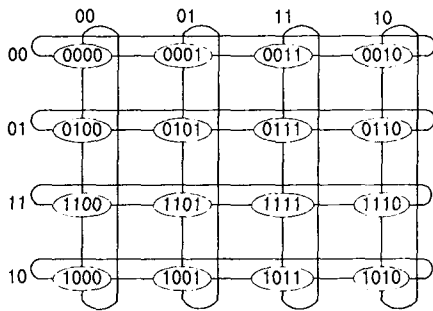


그림 1. 4×4 토러스

2.2 HCN(n,n)

하이퍼큐브는 2^n 개의 노드와 $n2^{n-1}$ 개의 에지로 구성된다. 각 노드의 주소는 n -비트 이진수로 표현될 수 있고, 임의의 두 노드의 주소가 정확히 1비트만 다를 때 그들 사이에 에지가 존재하며, 분지수와 지름이 각각 n 이고, 망비용은 n^2 이다. 이러한 하이퍼큐브는 노드 및 에지 대칭성을 갖고, 간단한 라우팅 알고리즘, 최대 고장 허용도 및 재귀적 구조를 갖지만, 노드 개수의 증가에 따른 분지수의 증가로 인해 네트워크의 망비용이 증가하는 단점이 있다.

HCN(n,n)은 이러한 하이퍼큐브의 단점을 개선한 연결망으로 n -차원 하이퍼큐브 Q_n 를 기본 모듈로 사용한다. HCN(n,n)은 2^{2n} 개의 노드와 $(n+1)2^{2n-1}$ 개의 에지로 구성되며, 분지수는 $n+1$ 이다. HCN(n,n) 각 노드는 HCN(I,J)와 같이 두 개의 주소로 구성이 된다. I 는 모듈을 인식하고, J 는 모듈 내의 노드를 인식한다. 각 모듈 안의 에지들은 내부 에지라고 하고, 두 개의 모듈 사이의 에지들은 외부 에지라고 한다. 이 외부 에지들은 diameter link들과 nondiameter link들로 나뉜다. diameter link는 조건 $0 \leq I \leq (2^n - 1)$ 와 $0 \leq J \leq (2^n - 1)$ 을 만족하는 노드 HCN(I,I)와 HCN(J,J) 사이의 외부 에지를 말하는데 I 와 J 는 서로 보수관계이다. diameter link가 아닌 외부 에지는 HCN(I,J)와 HCN(J,I) 사이의 외부 에지로 nondiameter link로 불린다.

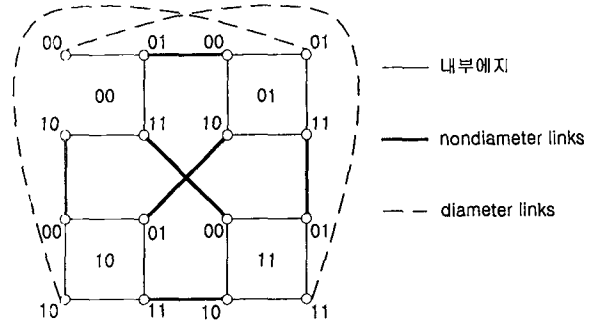


그림 2. HCN(2,2)

3. $2^{2n-k} \times 2^k$ 토러스의 HCN(n,n)에 대한 임베딩

본 논문에서의 임베딩 개요는 다음과 같다.

$2^{2n-k} \times 2^k$ 토러스의 하나의 그룹은 HCN(n,n)의 하나의 모듈로 대응(그룹 내부의 노드는 모듈 내부의 노드에 1:1 사상)되고, 그룹과 그룹을 연결하는 에지의 두 노드가 사상된 HCN(n,n)의 두 노드를 연결하는 에지의 수로 연결망을 분석한다.

정리 $2^{2n-k} \times 2^k$ 토러스는 HCN(n,n)에 연결망 3에 임베딩 가능하다.

증명 $2^{2n-k} \times 2^k$ 토러스의 인접한 임의의 두 노드를 $H=(h_1h_2\dots h_nh_{n+1}\dots h_{2n})$ 와 $H'=(h'_1h'_2\dots h'_nh'_{n+1}\dots h'_{2n})$ 로 가정하고, HCN(n,n)의 임의의 두 노드를 $S=(s_1s_2\dots s_n, s_{n+1}\dots s_{2n})$, $S'=(s'_1s'_2\dots s'_n, s'_{n+1}\dots s'_{2n})$ 라 가정하자.

토러스의 노드 H 를 HCN(n,n)의 노드 S 로, 토러스의 노드 H' 를 HCN(n,n)의 노드 S' 로 사상했을 때, 노드 S 에서 노드 S' 를 연결하는데 적용되는 HCN(n,n)의 에지의 수를 통하여 연결망을 분석한다. 노드 H 와 인접한 H' 의 비트스트링에 따라서 아래의 경우로 나눌 수 있다.

경우 1. $h_1h_2\dots h_n=h'_1h'_2\dots h'_n$ 일 때 : 토러스의 노드 H 가 사상된 HCN(n,n)의 노드 S 의 비트스트링은 $(s_1s_2\dots s_i\dots s_n, s_{n+1}\dots s_j\dots s_{2n})$ 이고, 노드 H' 가 사상된 노드 S' 의 비트스트링은 $(s_1s_2\dots s_i\dots s_n, s_{n+1}\dots \overline{s_j}\dots s_{2n})$ 이다($1 \leq i \leq n, n+1 \leq j \leq 2n$). 노드 S 와 S' 의 비트스트링에서 오직 j 번째에 있는 비트만 서로 보수 관계이므로, 노드 S 와 S' 는 HCN(n,n)의 동일한 모듈 내부에 있는 노드임을 알 수 있고, HCN(n,n)의 정의에 의해 노드 S 와 S' 는 서로 인접한 노드이다. 따라서 토러스의 노드 H 와 H' 를 HCN(n,n)의 노드 S 와 S' 에 각각 사상할 때 연결망 1에 임베딩 가능함을 알 수 있다.

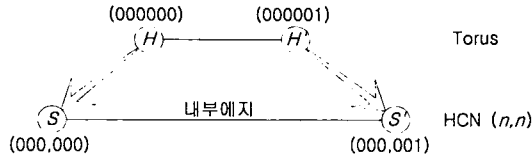


그림 3. 경우 1의 예

경우 2. $h_1h_2...h_n \neq h'_1h'_2...h'_n$ 일 때 : 토러스의 노드 H 가 사상된 $HCN(n,n)$ 의 노드 S 의 비트스트링은 $(s_1s_2...s_i...s_n, s_{n+1}...s_j...s_{2n})$ 이고, 노드 H' 가 사상된 노드 S' 의 비트스트링은 $(s_1s_2...s_i...s_n, s_{n+1}...s_j...s_{2n})$ 이다 ($1 \leq i \leq n, n+1 \leq j \leq 2n$). 노드 S 와 S' 의 비트스트링에서 i 번째에 있는 비트만 보수관계이므로 S 와 S' 는 $HCN(n,n)$ 의 서로 다른 모듈에 있는 노드임을 알 수 있다. 사상된 $HCN(n,n)$ 의 노드 $(s_1s_2...s_i...s_n, s_{n+1}...s_j...s_{2n})$ 를 nondiameter link에 의해 $(s_{n+1}...s_j...s_{2n}, s_1s_2...s_i...s_n)$ 에 연결한다. 연결된 노드 $(s_{n+1}...s_j...s_{2n}, s_1s_2...s_i...s_n)$ 를 모듈 내부에 있는 노드 $(s_{n+1}...s_j...s_{2n}, s_1s_2...s_i...s_n)$ 에 연결한다. 연결된 노드 $(s_{n+1}...s_j...s_{2n}, s_1s_2...s_i...s_n)$ 를 nondiameter link에 의해 $(s_1s_2...s_i...s_n, s_{n+1}...s_j...s_{2n})$ 에 연결한다. 따라서 토러스의 노드 H 와 H' 를 $HCN(n,n)$ 의 노드 S 와 S' 에 각각 사상할 때 연장을 3에 임베딩 가능함을 알 수 있다.

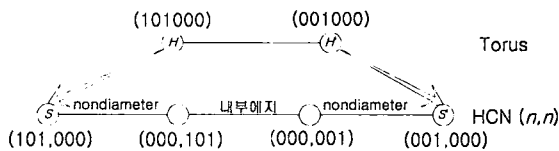


그림 4. 경우 2의 예

경우 2.1. $h_1h_2...h_n \neq h'_1h'_2...h'_n$ 이고 $h_1h_2...h_n = h_{n+1}...h_{2n}$ 일 때 : 토러스의 노드 H 가 사상된 $HCN(n,n)$ 의 노드 S 의 비트스트링은 $(s_1s_2...s_i...s_n, s_{n+1}...s_j...s_{2n})$ 이고, 노드 H' 가 사상된 노드 S' 의 비트스트링은 $(s_1s_2...s_i...s_n, s_{n+1}...s_j...s_{2n})$ 이며 ($1 \leq i \leq n, n+1 \leq j \leq 2n$), 사상된 노드 S 의 비트스트링 중 $s_1s_2...s_i...s_n = s_{n+1}...s_j...s_{2n}$ 이므로 경우 2에서 처음 연결된 nondiameter link를 사용할 필요가 없다. 그러므로 이 경우는 연장을 2이다.

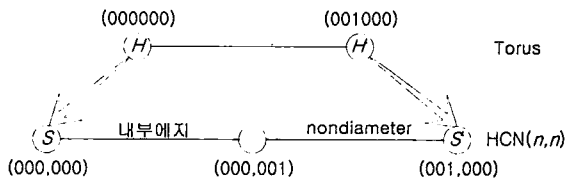


그림 5. 경우 2.1의 예

이상의 2가지 경우에서 증명한 바와 같이 토러스를 $HCN(n,n)$ 에 임베딩을 하기 위해 필요한 연장은 3이하이다.

4. 결론

상호 연결망의 임베딩은 어떤 연결망 G 가 다른 연결망 H 에 포함 혹은 어떻게 연관되어 있는지를 알아보기 위해 어떤 특정한 연결망을 다른 연결망에 사상하는 것이다.

본 논문에서는 상호 연결망으로 널리 사용되고 있는 토러스를 $HCN(n,n)$ 에 연장을 3에 임베딩 가능함을 분석했다. 이러한 토러스와 $HCN(n,n)$ 사이의 임베딩 결과는 토러스에서 이미 개발된 여러 가지 알고리즘을 $HCN(n,n)$ 에서 효율적으로 이용할 수 있음을 의미한다.

참고문헌

- [1] S. B. Akers and B. Krishnamurthy, "A Group-Theoretic Model for Symmetric Interconnection Network," IEEE Trans. Comput., Vol. 38, No. 4, pp. 555-565, 1989.
- [2] J. Bruck, R. Cypher and C.-R. Ho, "Wildcard Dimensions, Coding Theory and Fault-Tolerant Meshes and Hypercubes," IEEE Trans. on Computers, Vol. 44, No. 1, pp. 150-155, 1995.
- [3] K. Ghose and K. R. Desai "Hierarchical Cubic Networks," IEEE Trans. Parallel Distributed syst., Vol.6, No. 4, pp.427-436, 1995.
- [4] J. G. Peters and M. Syska, "Circuit-Switched Broadcasting in Torus Networks," IEEE Trans. Parallel Distributed syst., Vol. 7, No. 3, pp. 246-255, March 1996.
- [5] Y. Saad and M. H. Schutlz, "Topological Properties of Hypercubes," IEEE Trans. Comput., Vol.37, pp.867-872, 1988.
- [6] A. S. Vaidya, P. S. N. Rao and S. R. Shankar, "A Class of Hypercube-like Networks," Proc. of the 5th IEEE Symposium on Parallel and Distributed Processing, pp. 800-803, Dec. 1993.
- [7] A. Y. Wu, "Embedding of Tree Networks into Hypercubes," J. Parallel and Distributed Computing, Vol. 2, pp. 238-249, 1985.
- [8] S-K. Yun and K-H. Park, "Comments on 'Hierarchical Cubic Networks'," IEEE Trans. Parallel Distributed syst., Vol. 9, No. 4, pp. 410-414, 1998.
- [9] 주낙근, "그래프 연산과 그레이 코드를 이용한 상호 연결망의 설계," 전남대학교 전산통계학과, 박사학위 논문, 1995.